

# Fordonsdynamik med reglering

Jan Åslund

jaasl@isy.liu.se

Associate Professor

Dept. Electrical Engineering  
Vehicular Systems  
Linköping University  
Sweden

## Föreläsning 1

Theory of Ground Vehicles, J.Y. Wong

- Kapitel 1: Däck
- Kapitel 3: Prestanda
- Kapitel 5: Kurvtagning
- Kapitel 7: Komfort

## Introduktion

Föreläsningsplan:

Föreläsning 1: Kapitel 1.1-1.3

Föreläsning 2-3: Kapitel 3 + extra material

Föreläsning 4-8: 1.4-1.5, 5 + extra material

Föreläsning 9-10: Kapitel 7

Lektionsplan:

Övningsuppgifter till lektionerna delas ut på lektionerna och finns att hämta på kurshemsidan.

## Introduktion: Laborationer

Laboration 1: Inbromsning, ABS-system.

Laboration 2: Lateraldynamik.

Laboration 3: Antisladdsystemet.

Laboration 4: Vertikaldynamik, semi-aktiva dämpare.

Figur 1.1: Däckets uppbyggnad

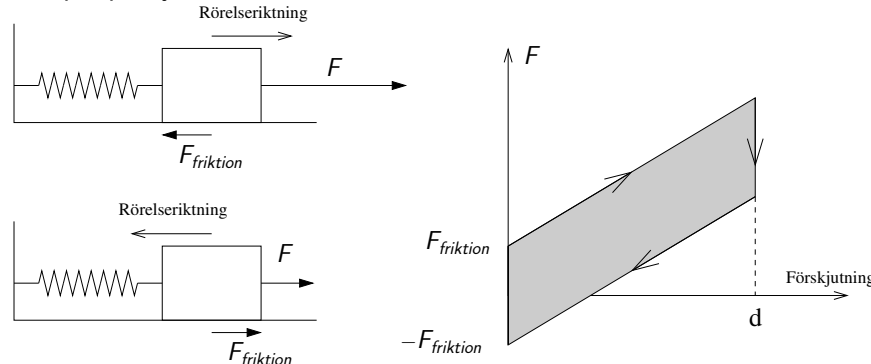
Figur 1.2: Koordinater, krafter och moment.

Det största bidraget till rullmotståndet är hysteres i däcket. Andra faktorer som bidrar till rullmotståndet är

- Friktion mellan däck och underlag
- Cirkulerande luft i däcket

## Rullmotsånd: Hysteres

Exempel på hysteres orsakad av friktion

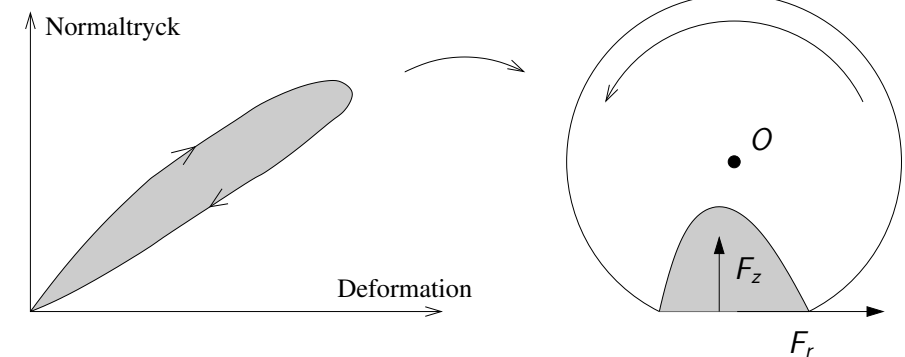


Energin som förloras p.g.a. hysteres under en cykel är lika stor som arean innanför kurvan:

$$2 \cdot d \cdot F_{\text{friktion}}$$

## Rullmotstånd: Hysteres

Hysteres i däcket medför att normaltryckets resultant  $F_z$  förskjuts framåt



För ett fritt rullande hjul måste det finnas en horisontell kraft  $F_r$  när hjulet är i jämvikt. Detta inses genom att välja punkten  $O$  som momentpunkt.

Kvoten mellan rullmotståndet och normalkraften definieras som rullmotståndskoefficienten  $f_r$ . Rullmotståndet beror bl.a. av hastigheten. Empiriska samband mellan  $f_r$  och hastigheten  $V$ :

Radialdäck på bil:  $f_r = 0.0136 + 0.40 \times 10^{-7} V^2$

Radialdäck på lastbil:  $f_r = 0.006 + 0.23 \times 10^{-6} V^2$

Däckets konstruktion påverkar givetvis rullmotståndet. Andra faktorer som påverkar rullmotståndet visas i figurerna i läroboken, t.ex.

- Underlag, figur 1.5.
- Trycket i däcket, figur 1.7 och 1.8.
- Temperatur, figur 1.11 och 1.12.

## Drivande hjul

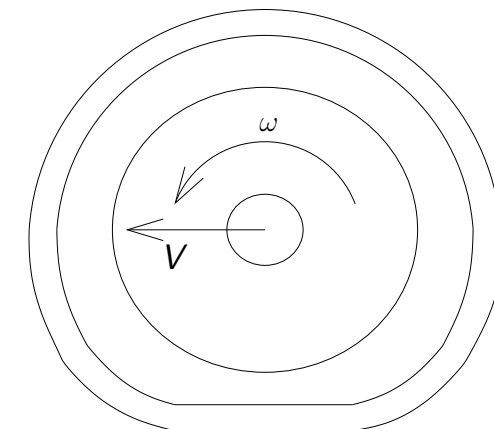
Longitudinellt slipp

$$i = \left(1 - \frac{V}{\omega r}\right) \times 100\% = \left(1 - \frac{r_e}{r}\right) \times 100\%$$

Gränsfallen:

$i = 0$  om hjulet rullar fritt

$i = 100\%$  om  $V = 0$ , d.v.s. hjulet står still och spinner.



Definierar

Rullradie för ett fritt rullande hjul:  $r = V/\omega$ .

Rullradie för ett drivande hjul:  $r_e = V/\omega$ .

## Borstmodellen

Borstmodellen är en enkel däcksmodell. Däckets kontaktyta består i denna modell av böjliga strån som p.g.a. utböjning ger upphov till sid- och längskrafter.

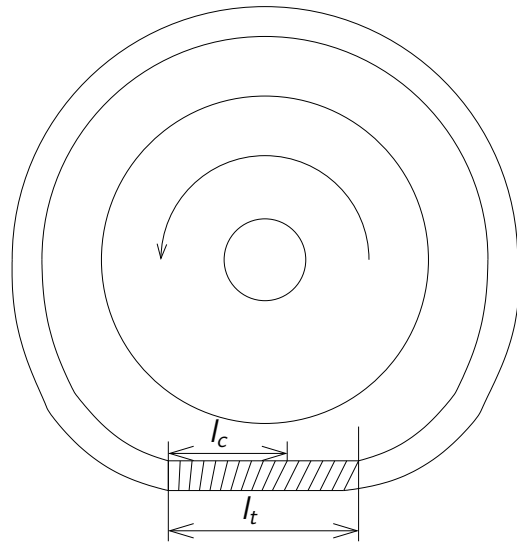
Längden på kontaktytan betecknas  $l_t$  och vi antar att normalkraften per längdenhet är jämt fördelad över kontaktytan

$$\frac{dF_z}{dx} = \frac{W}{l_t}$$

där  $W$  är normalkraften.

Kontaktytan mellan däck och underlag kan delas upp i två regioner:

- En vilozon utan glidning med längd  $l_c$
- En glidzon med längd  $l_t - l_c$



## Borstmodellen: Vilozonen

Vi antar att  $e = 0$  för  $x = 0$ ; se läroboken för en mer allmän teori. Detta ger förskjutningen

$$e(x) = (\omega r - V) \frac{x}{\omega r} = \left(1 - \frac{V}{\omega r}\right)x = ix$$

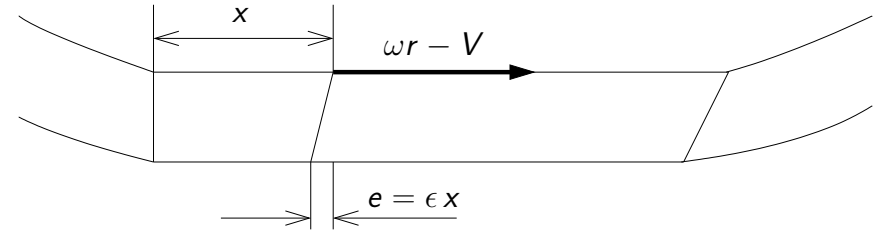
Linjär modell för sambandet mellan förskjutning och kraft

$$\frac{dF_x}{dx} = k_t e = k_t xi$$

Villkor för att strået inte ska glida

$$\frac{dF_x}{dx} \leq \mu_p \frac{W}{l_t} = \left(\mu_p \frac{dF_z}{dx}\right)$$

där  $\mu_p$  är friktionskoefficienten.



Översta delen av strået rör sig bakåt med hastigheten

$$\omega r - V$$

relativt marken.

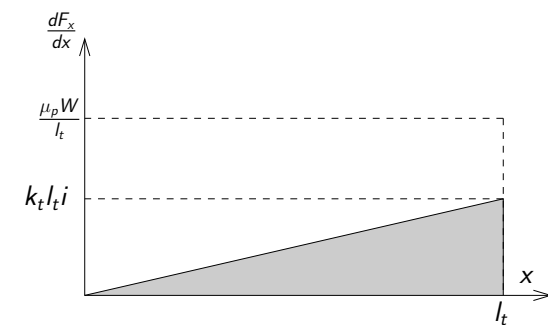
Tiden som den nedersta delen har varit i kontakt med underlaget är

$$t = \frac{x}{\omega r}$$

## Borstmodellen: Ingen glidzon

Villkoret för att ingen del av kontaktzonen glider kan skrivas

$$k_t l_t i \leq \frac{\mu_p W}{l_t} \quad \text{eller} \quad i \leq \frac{\mu_p W}{k_t l_t^2} \equiv i_c$$



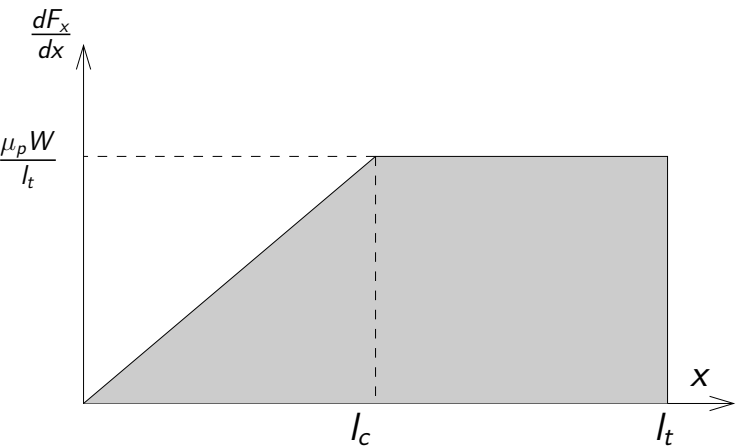
$$F_x = \text{Triangelns area} = \frac{1}{2} k_t l_t^2 i \equiv C_i$$

För

$$i = i_c = \frac{\mu_p W}{k_t l_t^2}$$

får vi

$$F_x = \frac{1}{2} k_t l_t^2 \frac{\mu_p W}{k_t l_t^2} = \frac{\mu_p W}{2} \equiv F_{xc}$$



I vilozonen gäller att

$$\frac{dF_x}{dx} = k_t x i \leq \frac{\mu_p W}{l_t} \quad \text{eller} \quad x \leq \frac{\mu_p W}{k_t l_t i} \equiv l_c$$

Totala kraften ges av arean under kurvan

$$F_x = \frac{1}{2} \frac{\mu_p W}{l_t} l_c + \frac{\mu_p W}{l_t} (l_t - l_c) = \mu_p W \left( 1 - \frac{1}{2} \frac{l_c}{l_t} \right)$$

Kritiska värden på slipp och kraft

$$i_c = \frac{\mu_p W}{k_t l_t^2} = \frac{\mu_p W}{2 C_i} \quad \text{och} \quad F_{xc} = \frac{\mu_p W}{2} = C_i i_c$$

Det finns ingen glidzon då  $i \leq i_c$  eller  $F_x \leq F_{xc}$  och då är

$$F_x = \frac{k_t l_t^2}{2} i = C_i i$$

För  $i > i_c$  eller  $F_x > F_{xc}$  är vilozonens längd

$$l_c = \frac{\mu_p W}{k_t l_t i}$$

och kraften ges av

$$F_x = \mu_p W \left( 1 - \frac{1}{2} \frac{l_c}{l_t} \right) = \mu_p W \left( 1 - \frac{\mu_p W}{4 C_i i} \right)$$

## Bromsande hjul

För ett bromsande hjul använder vi följande mått för glidet mellan däck och underlag(eng: *skid*):

$$i_s = \left(1 - \frac{\omega r}{V}\right) \times 100\% = \left(1 - \frac{r}{r_e}\right) \times 100\%$$

Gränsfallen:

$i_s = 0$  om hjulet rullar fritt

$i_s = 100\%$  om  $\omega = 0$ , d.v.s. hjulet är låst.

Samband mellan  $i$  och  $i_s$

$$i = -\frac{i_s}{1 - i_s}$$

och

$$i_s = -\frac{i}{1 - i}$$

## Bromsande hjul: Sammanfattning

$$C_s = \left. \frac{\partial F_x}{\partial i_s} \right|_{i_s=0}$$

Kritiska värden på glid och kraft

$$i_{sc} = \frac{\mu_p W}{2C_s + \mu_p W}$$

$$F_{xc} = \frac{C_s i_{sc}}{1 - i_{sc}} = \frac{\mu_p W}{2}$$

Utan glidzon ( $i_s \leq i_{sc}$ )

$$F_x = \frac{C_s i_s}{1 - i_s}$$

Med glidzon ( $i_s > i_{sc}$ )

$$F_x = \mu_p W \left( 1 - \frac{\mu_p W (1 - i_s)}{4 C_s i_s} \right)$$